

# LANCÉ

Servicio Clima Espacial

# Reporte Semanal

<http://www.sciesmex.unam.mx>



**AEM**  
AGENCIA ESPACIAL MEXICANA



**CENAPRED**  
CENTRO NACIONAL DE  
PREVENCIÓN DE DESASTRES

# Reporte semanal: del 13 al 19 de agosto de 2021

**LANCÉ**

Servicio Clima Espacial

## **CONDICIONES DEL SOL**

Regiones activas: 4, AR 12853, AR 12855, AR 12857 y AR 1258

Hoyos coronales: 12, localizados sobre el disco solar y los polos.

Eyecciones de masa coronal: 3 eyecciones que no causaron efectos sobre el ambiente geomagnético terrestre.

## **CONDICIONES DEL MEDIO INTERPLANETARIO**

Esta semana se observaron dos pequeñas regiones de interacción que no generaron actividad geomagnética.

## **CONDICIONES DE MAGNETÓSFERA**

Índice Kp: Fue una semana quieta y no se registró actividad geomagnética significativa.

Índice Dst: No se registró actividad geomagnética significativa registrada en el índices Dst.

## **CONDICIONES DE LA IONOSFERA**

Según los datos locales, no se observaron variaciones significativas del TEC esta semana.

## PRONÓSTICOS

### Viento solar:

- Se pronostica la posible llegada de corrientes de viento solar lento con velocidades de aproximadamente 350 km/s.

### Fulguraciones solares:

- Debido a que se observan cuatro regiones activas, existe la probabilidad de que se generen fulguraciones clase C o mayor la próxima semana.

### Tormentas ionosféricas:

- No se esperan perturbaciones ionosféricas significativas para la próxima semana.

### Tormentas geomagnéticas:

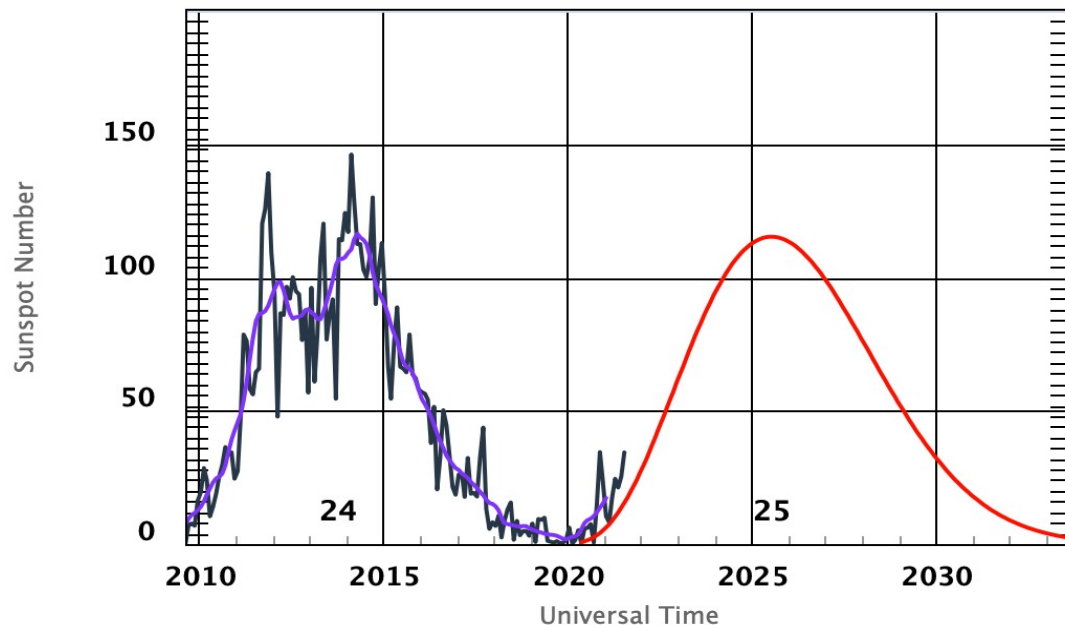
- No se pronostican tormentas geomagnéticas significativas.

### Tormentas de radiación solar:

- No se esperan tormentas significativas para la próxima semana.

# Ciclo de manchas solares y la actividad solar

ISES Solar Cycle Sunspot Number Progression



◆ Monthly Values    — Smoothed Monthly Values    — Predicted Values  
Space Weather Prediction Center

<http://www.swpc.noaa.gov/products/solar-cycle-progression>

La figura muestra el conteo del número de manchas solares desde julio del 2009.

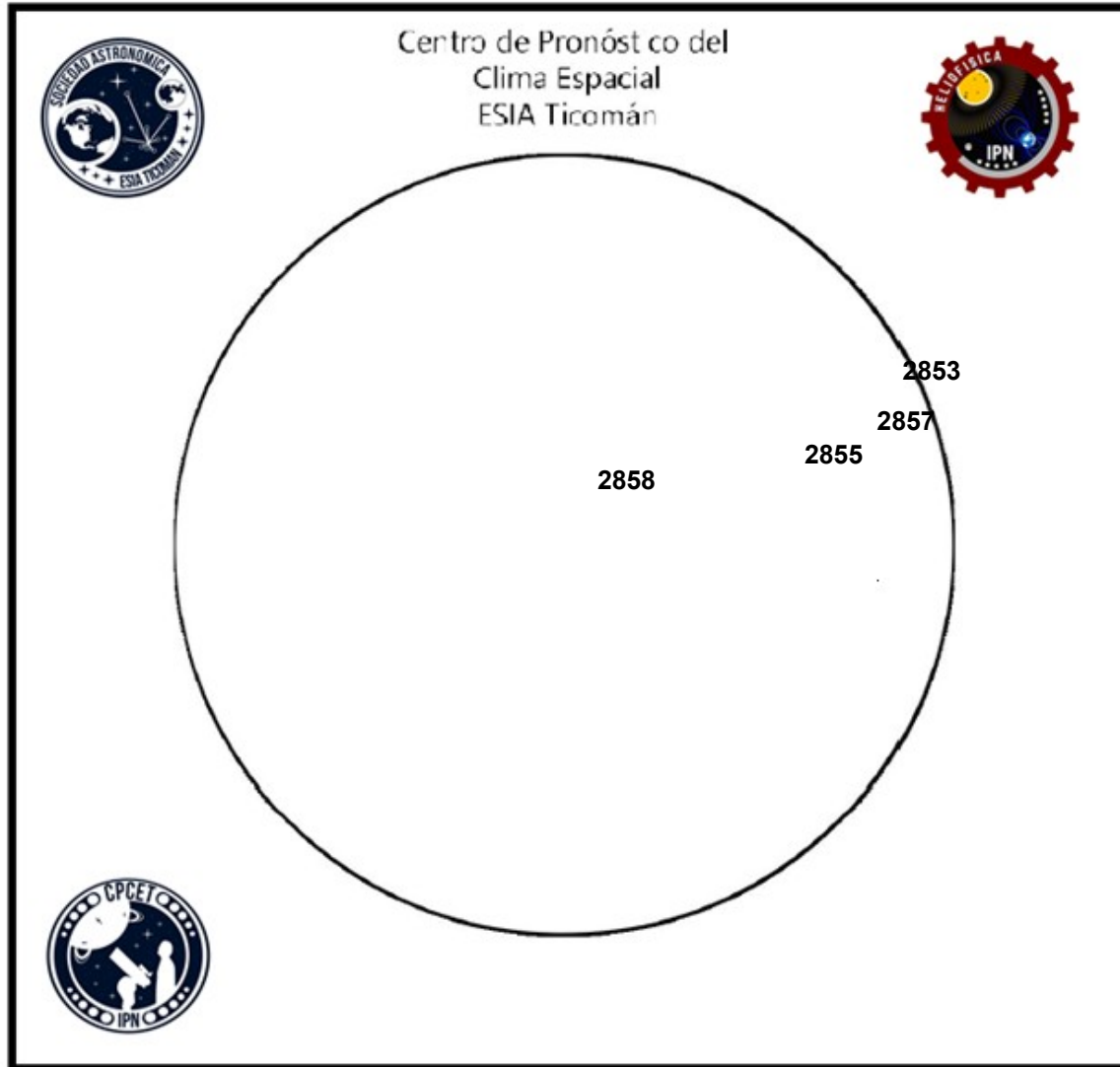
Entre más manchas solares presente el Sol, es mayor la posibilidad de que ocurra una tormenta solar.

Estamos en el inicio del ciclo solar 25, el cual ya ha mostrado cierta actividad en semanas anteriores.

# Número de Wolf

# LANCE

Laboratorio Nacional  
de Clima Espacial



El número de Wolf es un valor que permite evaluar numéricamente la actividad solar mediante el conteo de manchas solares ubicadas sobre la superficie del Sol. Este se calcula a partir de la fórmula desarrollada por Rudolf Wolf en 1849:

$$W=k(10*G+F)$$

Donde:

K= Es un factor de corrección que depende de cada observatorio.

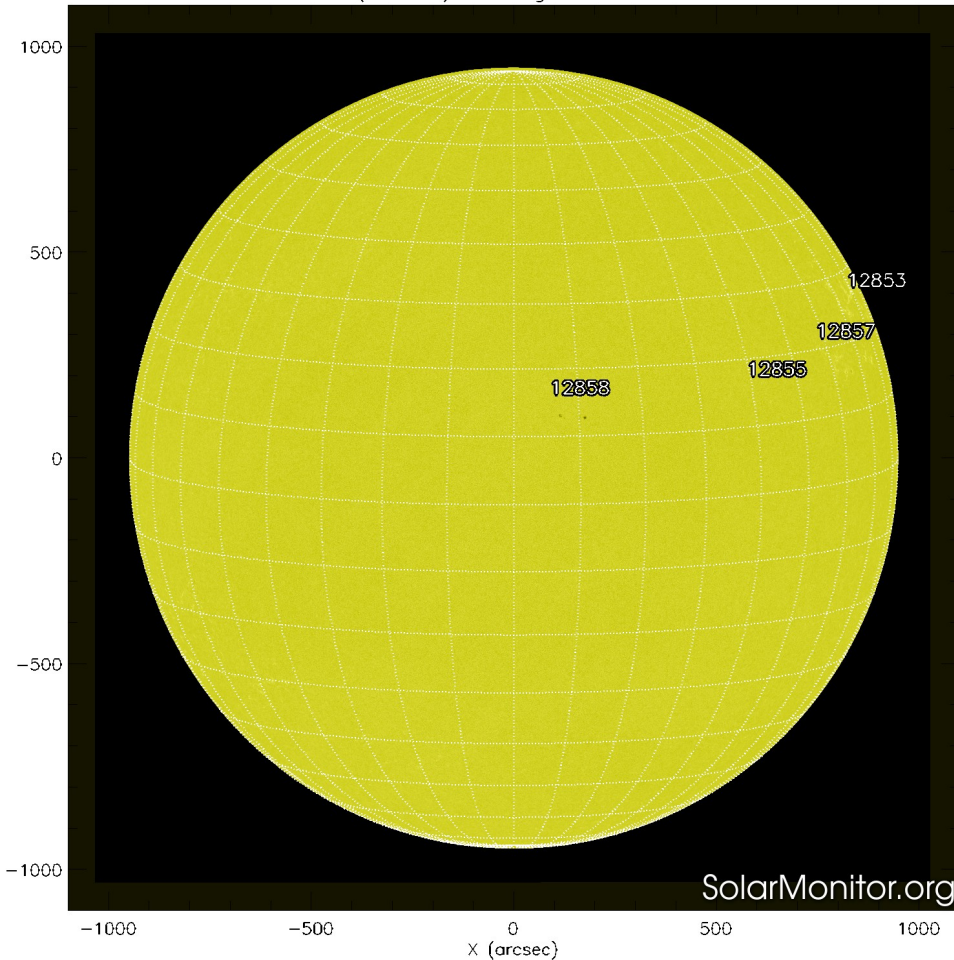
F= Cantidad total de manchas solares visibles sobre el disco solar.

G= Cantidad de grupos manchas solares visibles sobre el disco solar.

Número de Wolf máximo esta semana: **50**

Durante esta semana se pudieron observar cuatro regiones activas en la superficie del Sol. Estas fueron las 2853, 2855, 2857 y 2858 con coordenadas N22W87, N13W43, N17W62 y N12W09 respectivamente.

SDO HMI (6173 Å) 19-Aug-2021 14:46:43.900



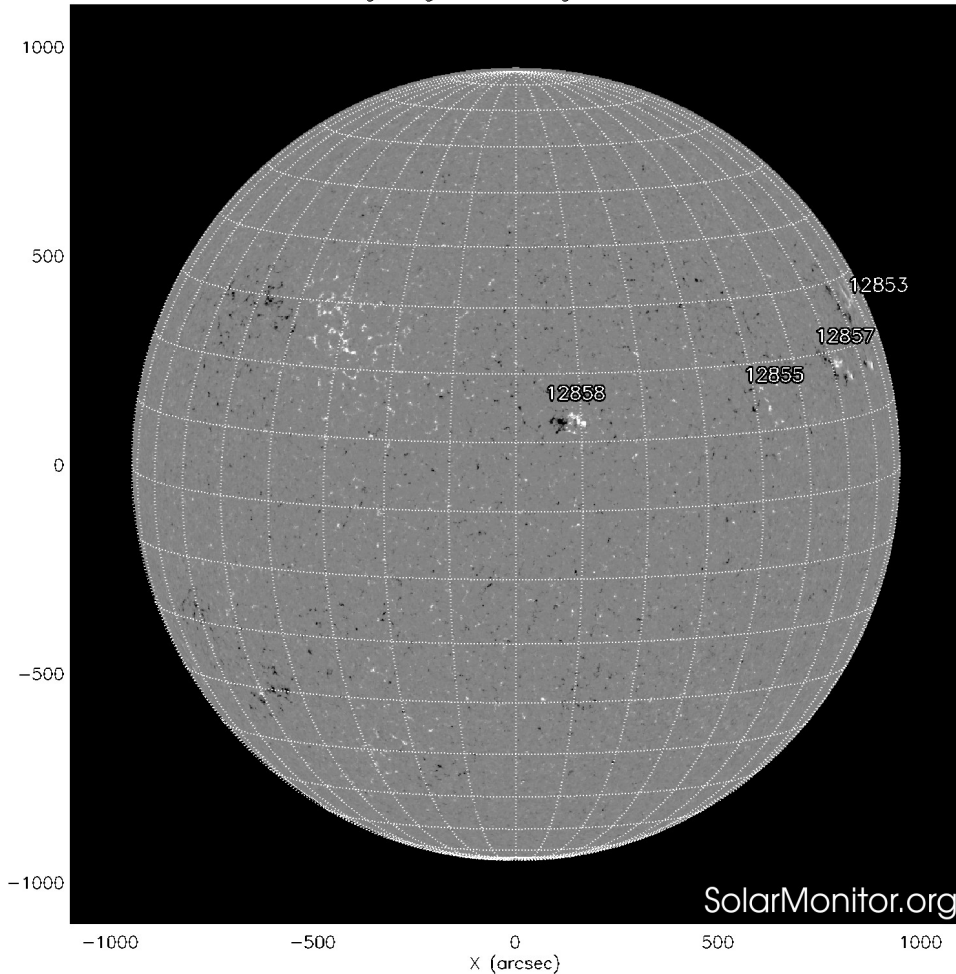
La fotosfera es la zona “superficial” del Sol, donde aparecen las manchas solares. Regiones oscuras formadas por material más frío que sus alrededores y que contienen intensos campos magnéticos. Las manchas solares están relacionadas con la actividad solar.

El Sol al 19 de agosto de 2021:

En la imagen reciente de la fotosfera no se observan manchas solares visibles, sin embargo se identifican cuatro regiones activas .

<https://www.solarmonitor.org/index.php>

SDO HMI Magnetogram 19-Aug-2021 13:58:43.900



Un magnetograma solar permite identificar las regiones de intensos campos magnéticos solares. En general, estos campos magnéticos están asociados a manchas solares.

Las regiones de color blanco (negro) son zonas por donde salen (entran) líneas de campo magnético, correspondientes a polaridad positiva (negativa).

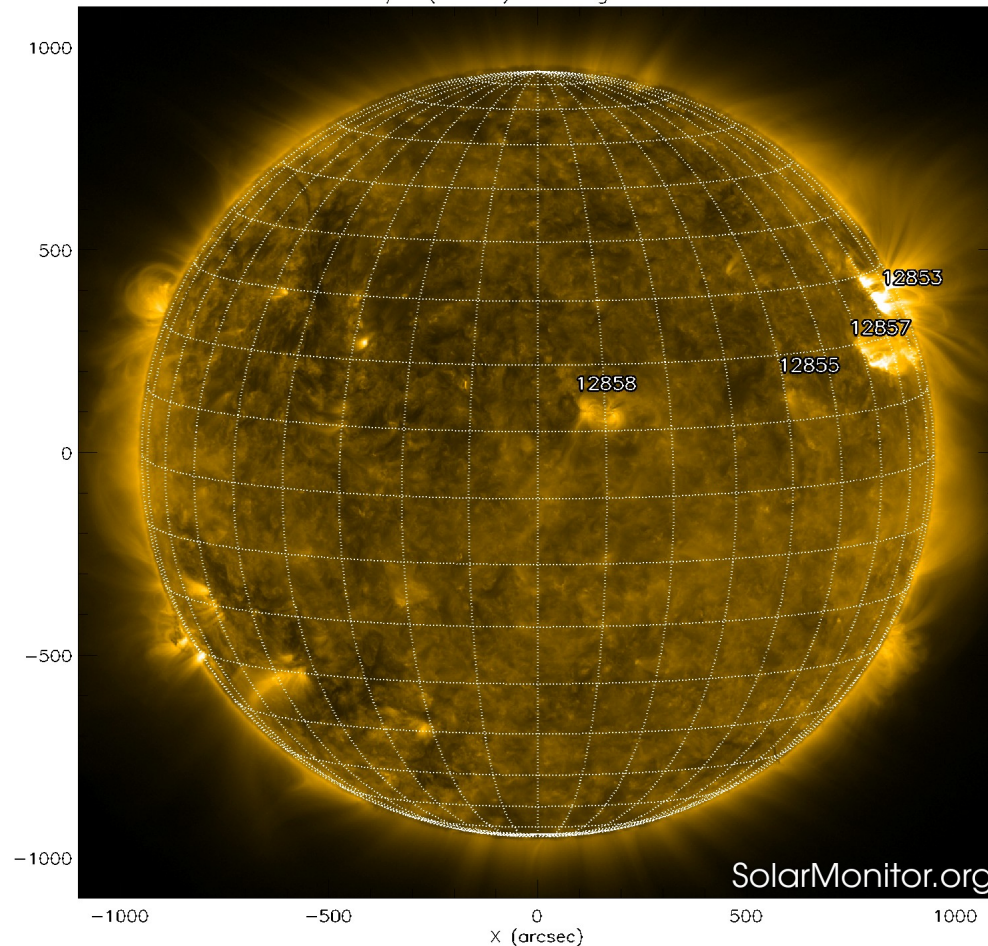
El Sol al 19 de agosto de 2021:

El magnetograma actual muestra algunas regiones dipolares asociadas a las regiones activas 12853, 12855, 12857 y 12858.

<https://www.solarmonitor.org/index.php>

# Atmósfera solar y regiones activas

SDO AIA Fe IX/X (171 Å) 19-Aug-2021 15:23:57.347



El Sol en rayos X suaves (171 Å). La emisión de Fe IX y X revela la estructura magnética en la región de la atmósfera solar llamada corona solar que se encuentra a 630,000 K.

Las regiones activas (zonas claras) son los lugares donde se presentan los fenómenos de actividad solar más importantes. Las regiones activas están regularmente asociadas a las manchas solares.

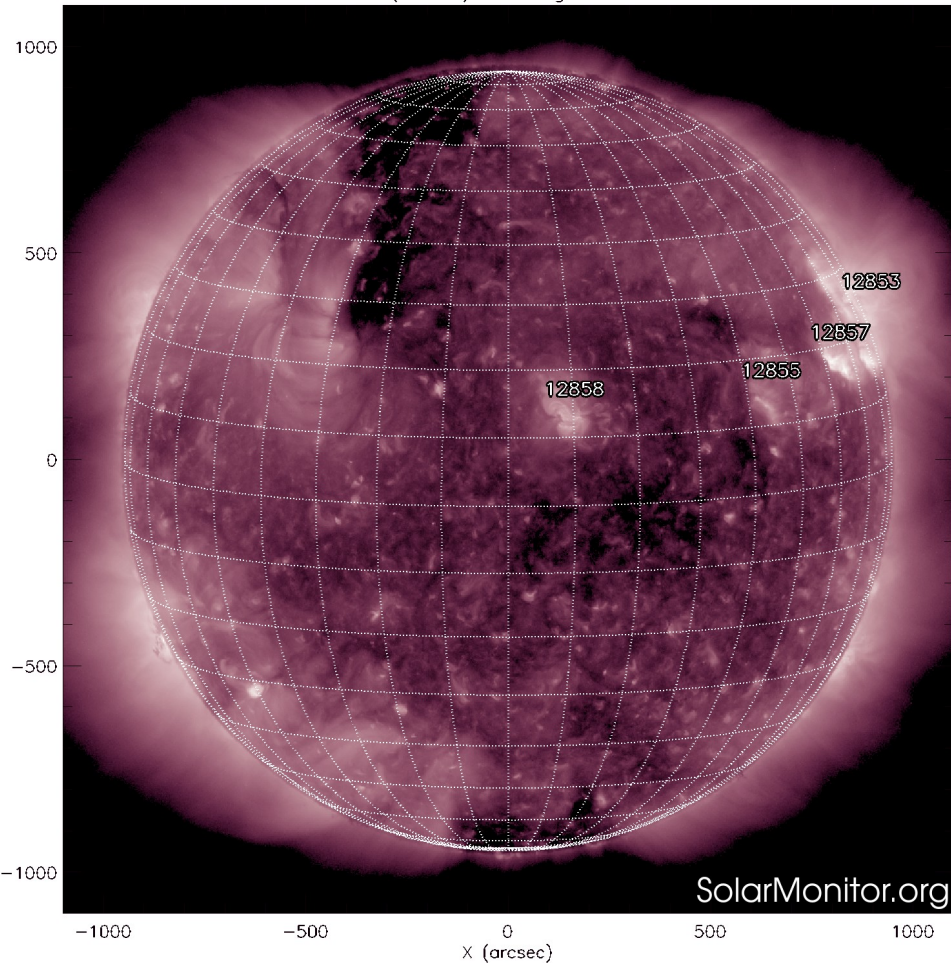
El Sol al 19 de agosto de 2021:

Al día de hoy se observan cuatro regiones activas etiquetadas por 12853, 12855, 12857 y 12858.

<https://www.solarmonitor.org/index.php>



SDO AIA Fe XII (211 Å) 19-Aug-2021 15:28:21.626



El Sol en rayos X suaves (211 Å). La emisión de Fe XIV revela la estructura magnética en la alta corona que se encuentra a 2,000,000 K.

Los hoyos coronales (regiones oscuras) son regiones de campo magnético solar localmente abierto. Los hoyos coronales son fuente de las corrientes de viento solar rápido.

El Sol al 19 de agosto de 2021:

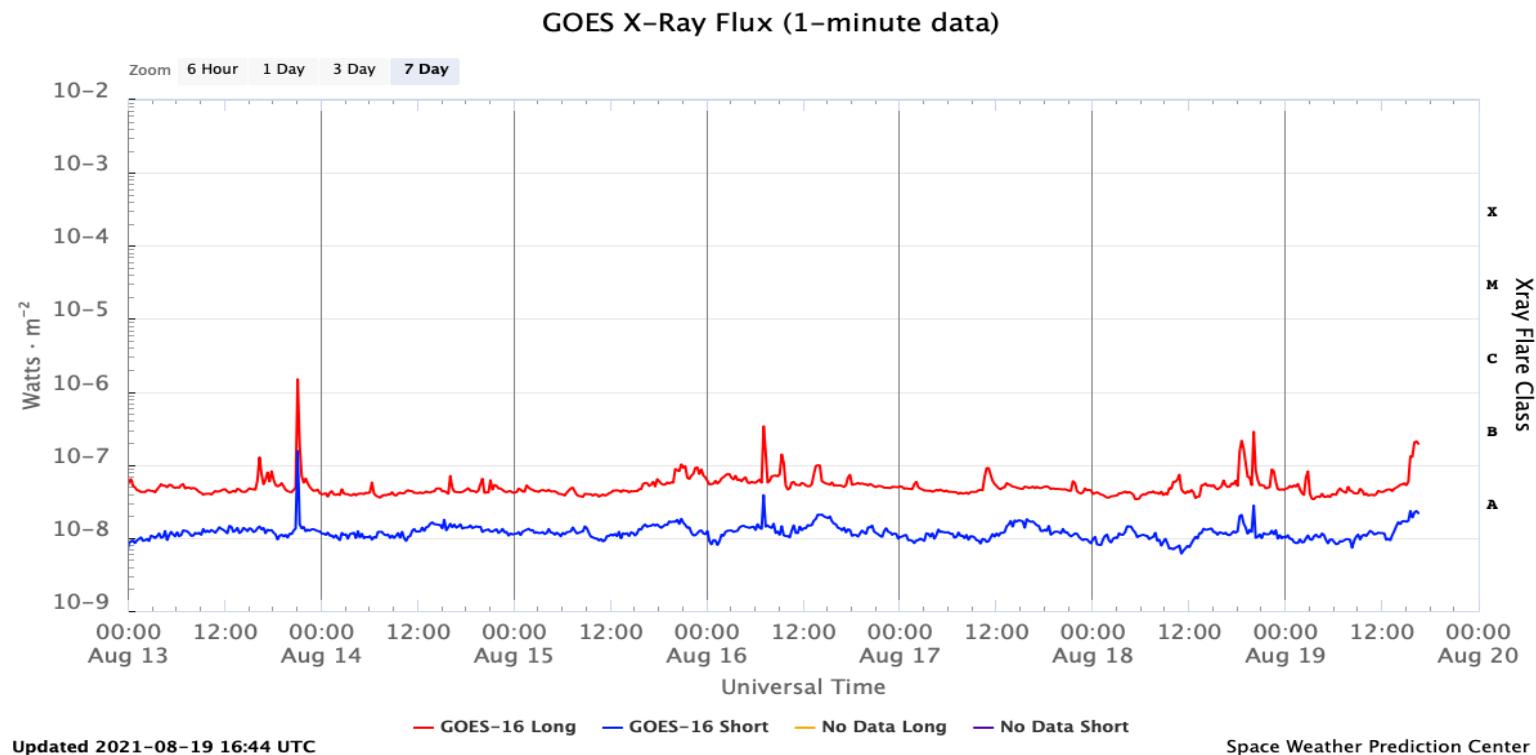
Se observan varios hoyos coronales, de los cuales los de mayor extensión están sobre el polo norte, el disco solar y el polo sur.

<https://www.solarmonitor.org/index.php>

# Actividad solar: Fulguraciones solares

Flujo de rayos X solares detectado por los satélites GOES.

Durante la semana no se registró actividad importante, por lo tanto solamente se registraron fulguraciones clase B y C.



Imágenes: <https://www.swpc.noaa.gov/products/goes-x-ray-flux>

# Actividad solar: Eyecciones de Masa Coronal

- >> Aug 16, 13:48h
- >> Aug 18, 03:48h
- >> Aug 19, 03:36h

- Eyecciones observadas por SOHO/LASCO.
- No se esperan repercusiones en el entorno geomagnético.

	19/08	18/08	16/08
Velocidad* (km/s)	89	492	468
Posición angular*	98	307	100
Ancho angular*	55	47	31

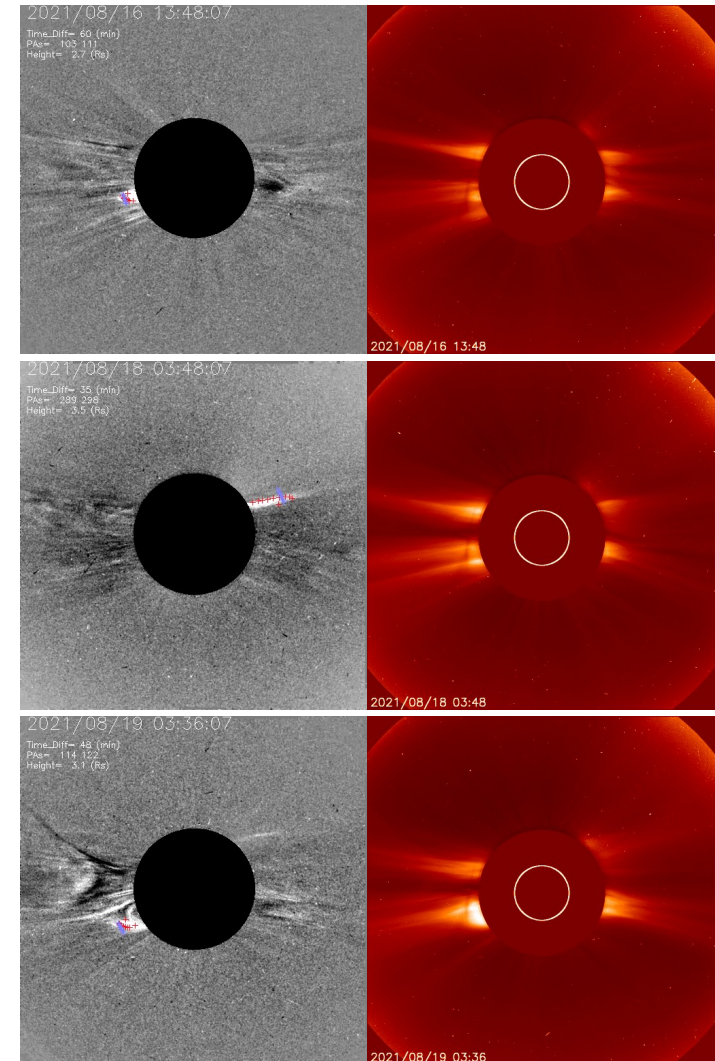
(\*)Valores estimados sobre la proyección en el plano del cielo y no en la dirección Sol-Tierra.

(+)Tiempo de inicio de la observación.

Crédito imágenes y valores estimados:  
SOHO, the Solar & Heliospheric Observatory  
SEEDS-- George Mason University, Space Weather Lab

Diferencia de imágenes  
SEEDS-GMU

ESA-NASA/ SOHO LASCO C2  
SEEDS-GMU



# Medio interplanetario: El viento solar cercano a la Tierra

## Modelo numérico WSA-ENLIL.

El modelo pronostica un ambiente solar terrestre dominado por corrientes de viento solar lento con velocidades que varían entre 300 y 350 km/s. La densidad del viento solar medido en la Tierra no presentará variaciones importantes. Tampoco se pronostica el arribo de ninguna EMC en los próximos días.

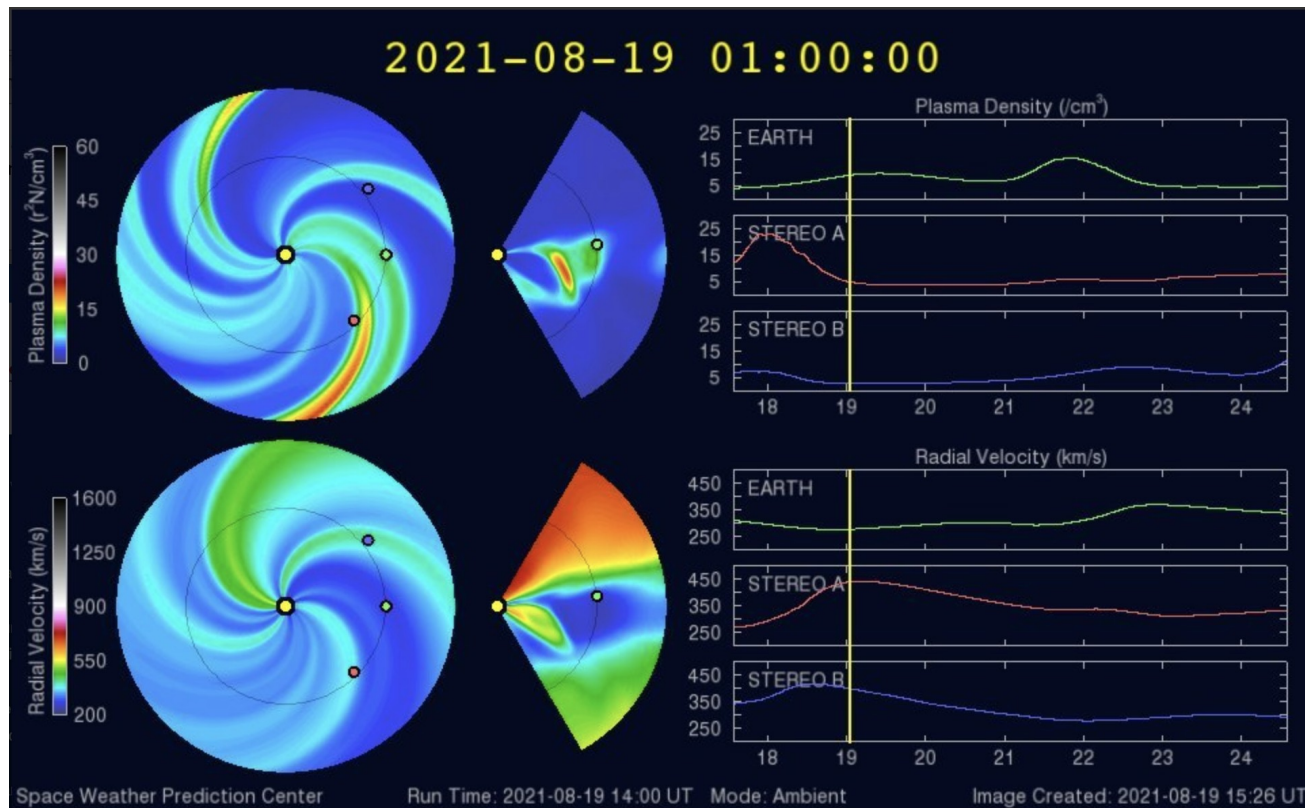
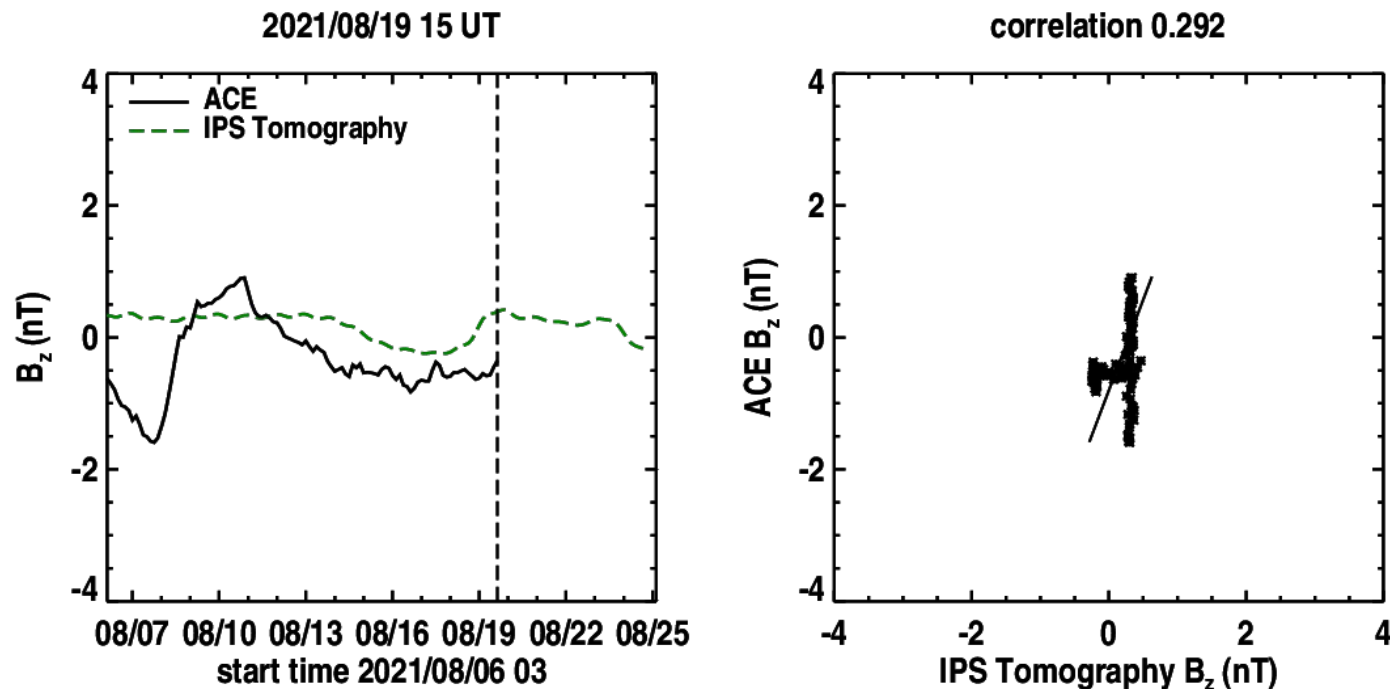


Imagen: <http://www.swpc.noaa.gov/products/wsa-enlil-solar-wind-prediction>

# Medio interplanetario: El viento solar cercano a la Tierra

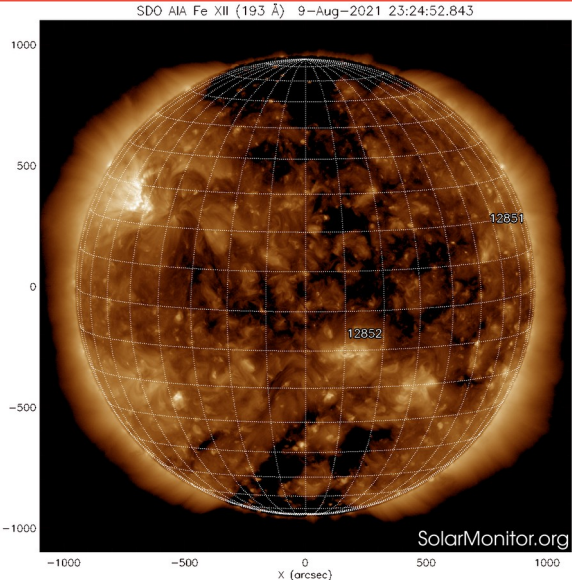
Pronóstico de la componente  $B_z$  del viento solar cercano a la Tierra usando la tomografía con datos IPS.



**(Izquierda)** Se pronostica una componente  $B_z$  con tendencias a cero. **(Derecha)** La comparación con las observaciones del Advanced Composition Explorer (ACE) indican una correlación de 0.292 en el último pronóstico.

Imagen: [http://ips.ucsd.edu/high\\_resolution\\_predictions](http://ips.ucsd.edu/high_resolution_predictions)

# Medio interplanetario: Región de interacción de viento solar



Esta semana observamos dos pequeñas regiones de interacción (áreas sombreadas en imagen 3). El origen del viento solar rápido son hoyos coronales localizado en latitudes bajas y de área pequeña (ver imagen 1). Ambas regiones de interacción no generaron actividad geomagnética. En la imagen 2 (área sombreada en amarillo) vemos la hoja de corriente heliosférica por arriba del plano de la eclíptica.

Imagen 1: <https://solarmonitor.org/chimera.php>

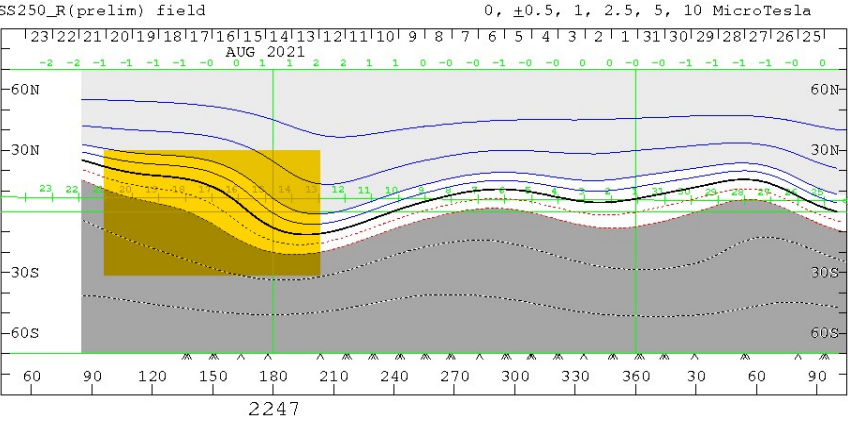


Imagen 2: <http://wso.stanford.edu/SYNOP/>

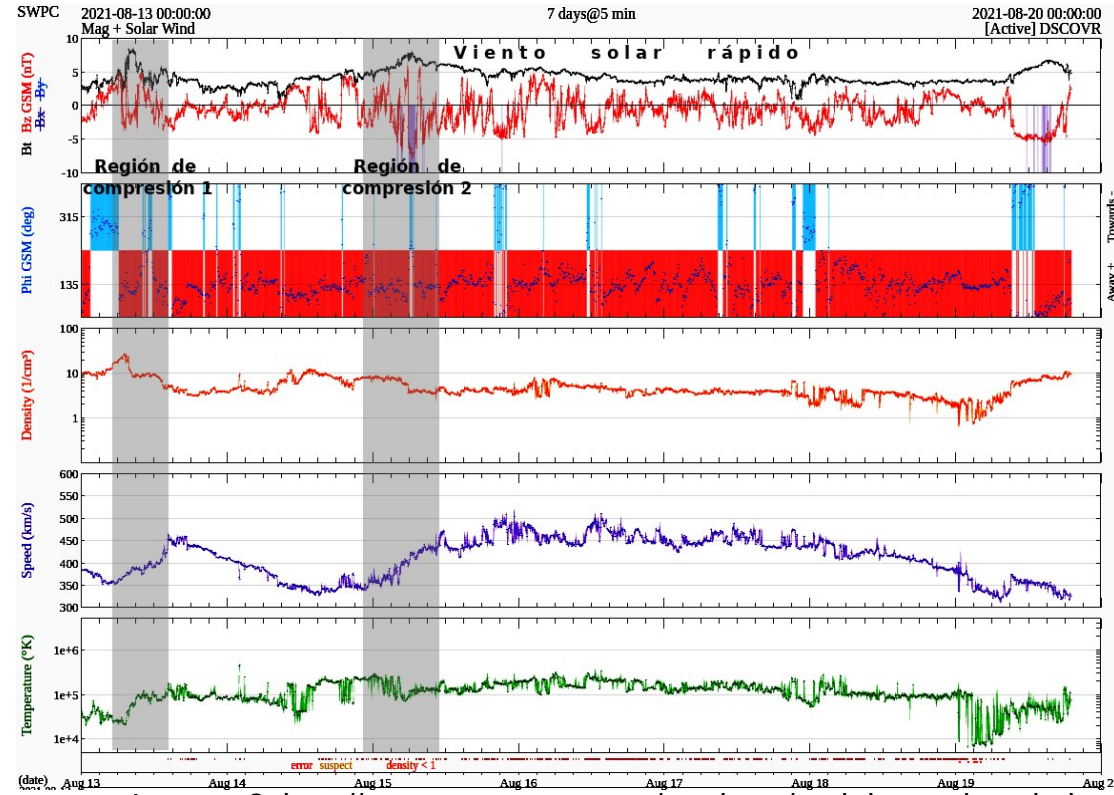


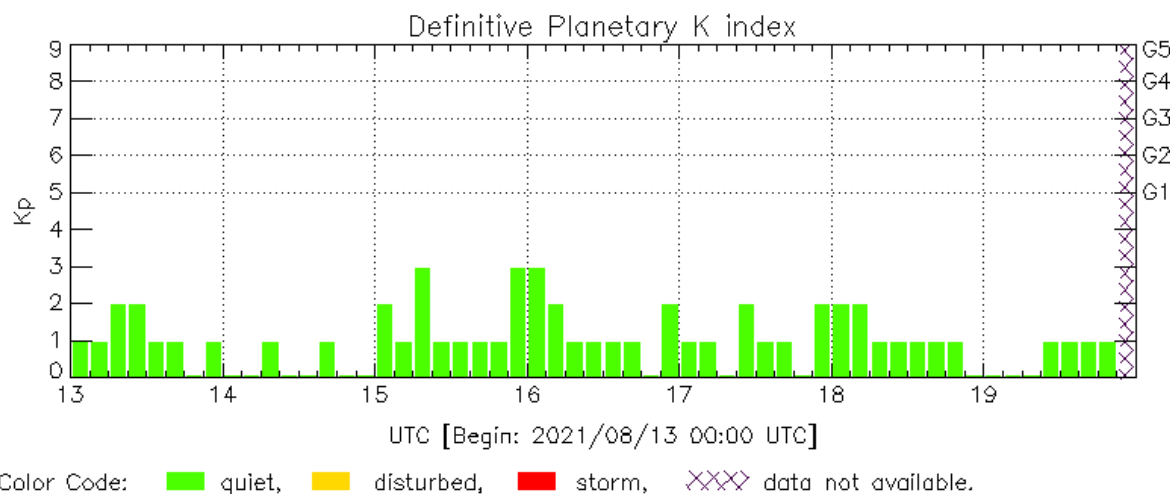
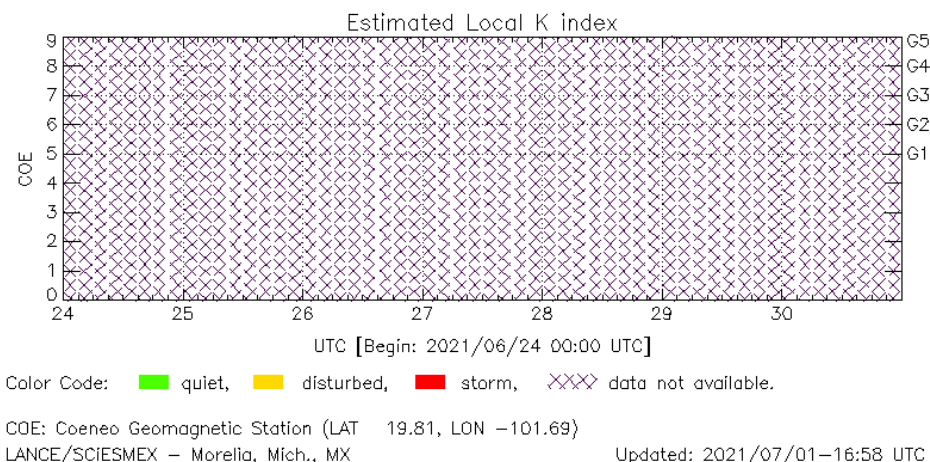
Imagen 3: <http://www.swpc.noaa.gov/products/real-time-solar-wind>

# Perturbaciones geomagnéticas: Índices geomagnéticos Kp y Kmex

Fue una semana quieta y no se registró actividad geomagnética significativa durante la semana.

NOTA: El cálculo del índice Kmex se realiza por la estación geomagnética de Coeneo, Mich. Los datos son experimentales y no se deben de tomar como definitivos. **A partir del 24 de mayo la estación geomagnética de Coeneo se encuentra en proceso de mantenimiento técnico.**

Datps: [www.gfz-potsdam.de/en/kp-index/](http://www.gfz-potsdam.de/en/kp-index/)



Kp: by GFZ German Research Center for Geosciences

<https://www.gfz-potsdam.de/en/kp-index/>

Updated: 2021/08/19-21:04 UTC

El índice K indica la intensidad de las variaciones del campo magnético terrestre en intervalos de 3 horas.

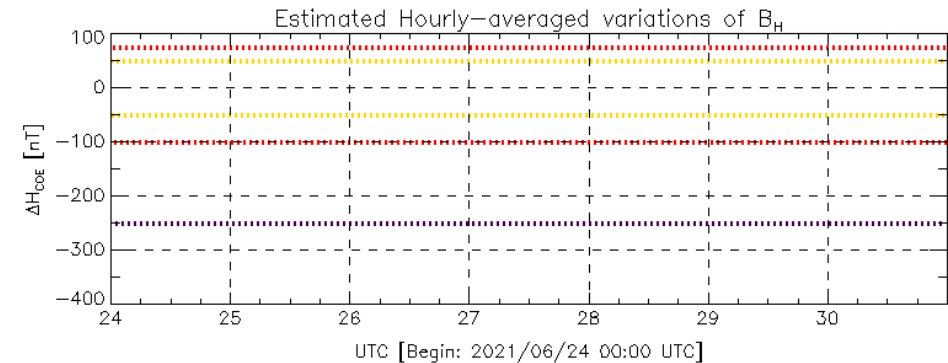
El índice Kp lo expresa a escala planetaria, mientras que el Kmex lo hace para el territorio mexicano.

# Perturbaciones geomagnéticas: Índice Dst y $\Delta H$

No se registró actividad geomagnética significativa en los índices Dst y  $\Delta H$  durante la semana.

NOTA: El cálculo del índice  $\Delta H$  se realiza por la estación geomagnética de Coeneo, Mich. Los datos son experimentales y no se deben de tomar como definitivos. **A partir del 24 de mayo la estación geomagnética de Coeneo se encuentra en proceso de mantenimiento técnico.**

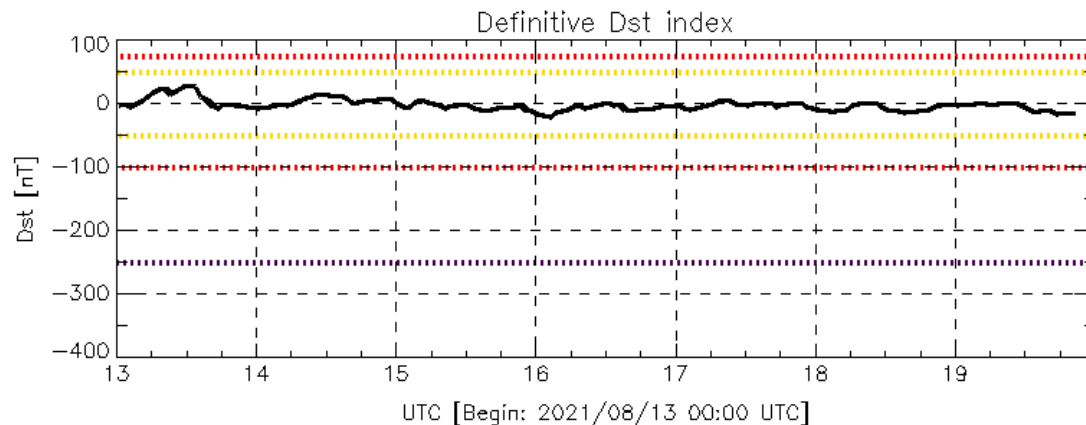
Datos: [wdc.kugi.kyoto-u.ac.jp/dst\\_realtime/](http://wdc.kugi.kyoto-u.ac.jp/dst_realtime/)



Color Code: weak, moderate, intense, extreme, data not available.

COE: Coeneo Geomagnetic Station (LAT 19.81, LON -101.69)  
LANC/SCIESMEX - Morelia, Mich., MX

Updated: 2021/07/01-16:58 UTC



Color Code: weak, moderate, intense, extreme, data not available.

Dst: by World Data Center for Geomagnetism, Kyoto  
[http://wdc.kugi.kyoto-u.ac.jp/dst\\_realtime/](http://wdc.kugi.kyoto-u.ac.jp/dst_realtime/)

Updated: 2021/08/19-21:03 UTC

Los índices Dst y  $\Delta H$  miden las variaciones temporales de la componente horizontal del campo geomagnético, el primero a escala planetaria y el segundo para México.

Estas variaciones, en general, se deben al ingreso de partículas cargadas, provenientes del espacio exterior, al ambiente espacial terrestre.



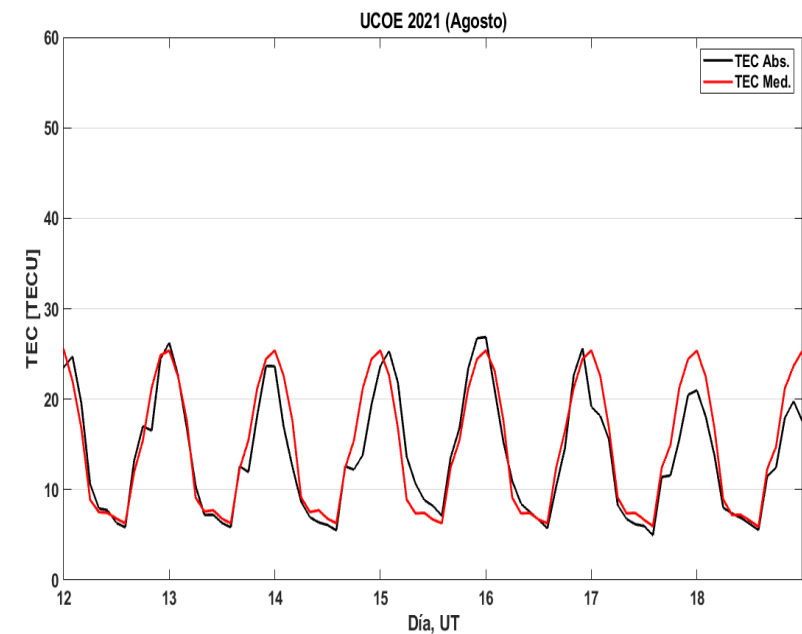
# Ionósfera sobre México: TEC en el centro del país (datos locales)

El contenido total de electrones (TEC) es un parámetro que sirve para caracterizar el estado de la ionosfera de la Tierra.

Serie temporal de los valores de TEC (negro) con referencia a su valor mediano (rojo) durante 12.08-19.08.2021 con base en los datos de la estación local UCOE (TLALOCNet, UNAVCO) ubicada en las instalaciones del MEXART.

Según los datos locales, no se observaron variaciones significativas del TEC en este periodo.

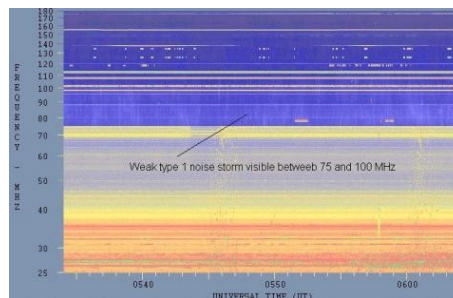
El cálculo se realiza en base de TayAbsTEC software del Instituto de Física Solar-Terrestre, Sección Siberiana de la Academia de Ciencias de Rusia. Referencia: Yasyukevich et al., Influence of GPS/GLONASS Differential Code Biases on the Determination Accuracy of the Absolute Total Electron Content in the Ionosphere, Geomagn. and Aeron., ISSN 0016\_7932, 2015.



# Tipos de estallidos de radio solares

**Tipo I:** Estallidos cortos y banda de emisión estrecha. Ocurren en un gran número sobre un continuo de emisión. Duración de 1 s y en tormenta de horas a días.

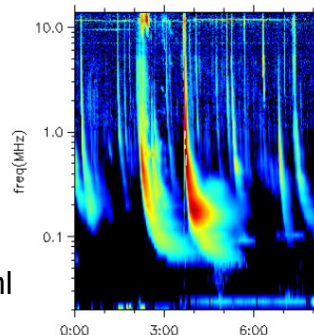
Se asocian con regiones activas, fulguraciones y protuberancias eruptivas



[spaceacademy.net.au/env/sol/solradp/solradp.htm](http://spaceacademy.net.au/env/sol/solradp/solradp.htm)

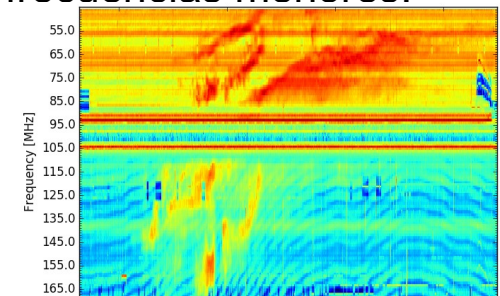
**Tipo III:** Estallidos de deriva rápida, con duración de pocos segundos en el rango métrico. Tienen anchos de emisión amplios. Son producidos en fulguraciones donde son expulsados a velocidades relativistas.

Se pueden presentar también como tormentas de estallidos.



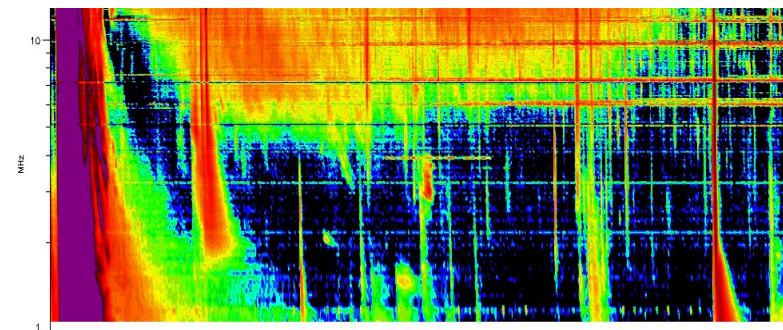
[ssed.gsfc.nasa.gov/waves/data\\_products.html](http://ssed.gsfc.nasa.gov/waves/data_products.html)

**Tipo II:** Estallidos de deriva lenta. Son la firma de ondas de choque, producidas por fulguraciones o EMCs, que se propagan cerca del Sol y medio interplanetario. Presentan anchos de de emisión estrechos que derivan a frecuencias menores.



[www.rice.unam.mx/callisto](http://www.rice.unam.mx/callisto)

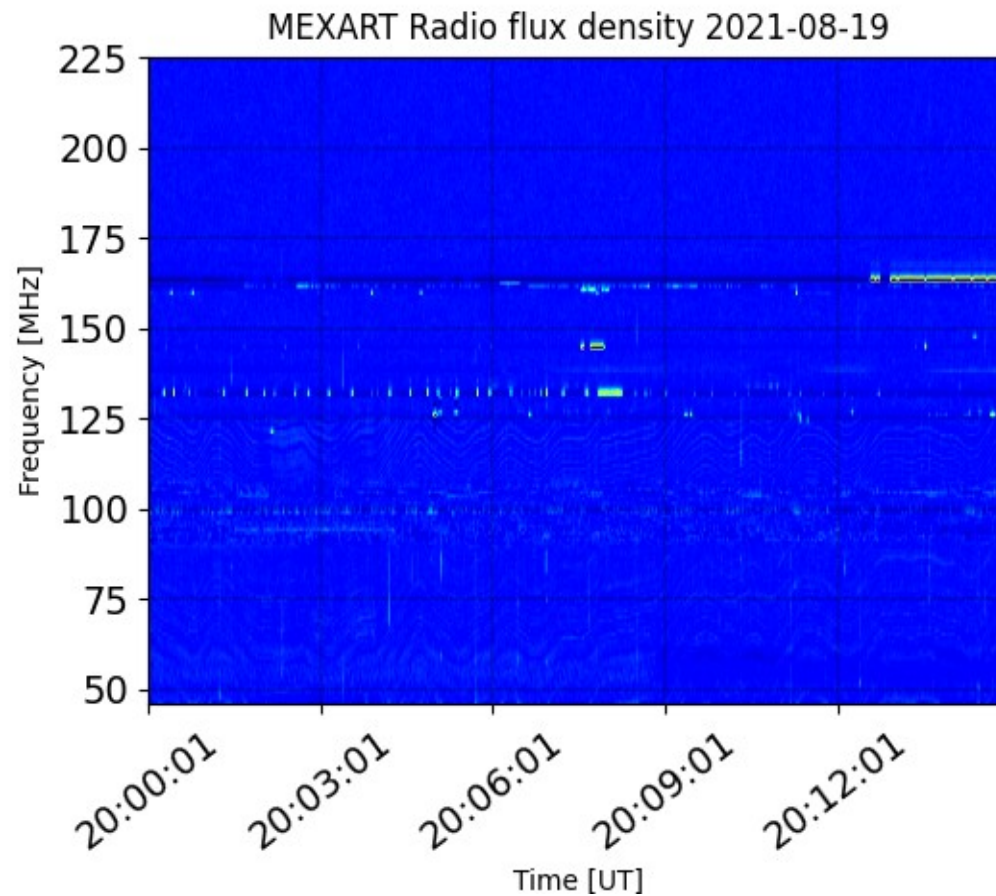
**Tipo IV:** Se relacionan con fulguraciones, tienen anchos de banda amplios y pueden durar horas.



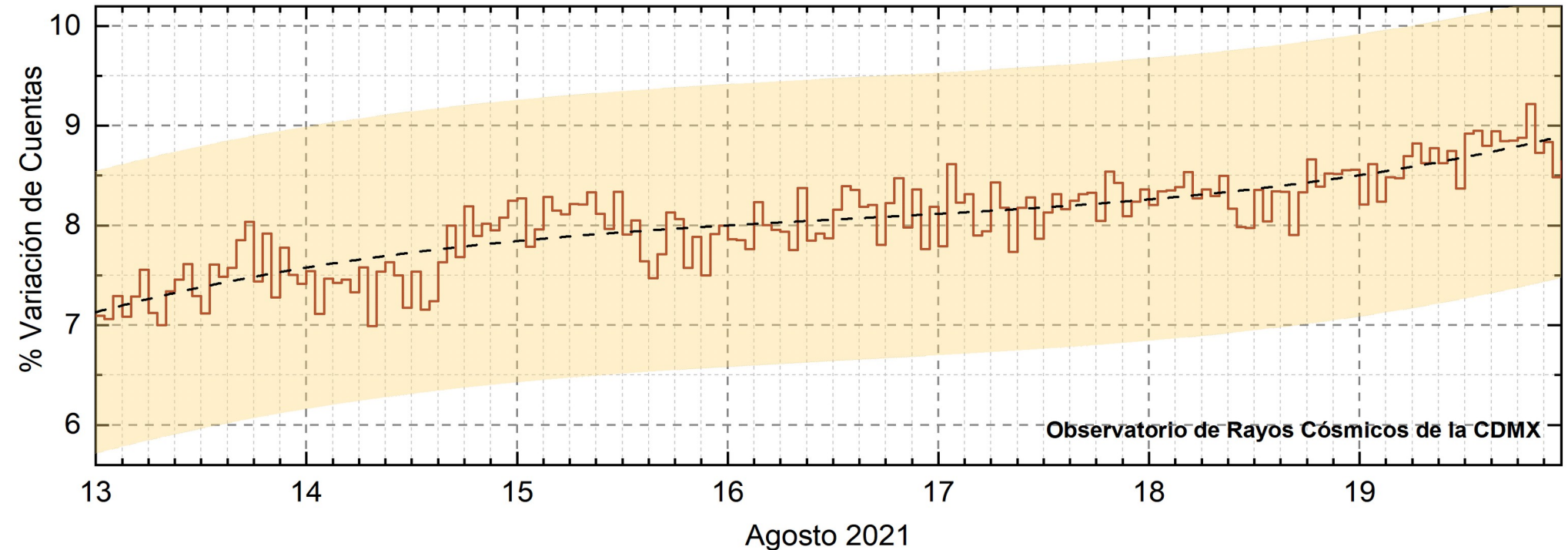
[https://ssed.gsfc.nasa.gov/waves/data\\_products.html](https://ssed.gsfc.nasa.gov/waves/data_products.html)

# Estallidos de radio solares: Observaciones de Callisto-MEXART

Callisto-MEXART no detectó estallidos de radio esta semana.



# Rayos Cósmicos:



<http://www.cosmicrays.unam.mx/>

Datos registrados por el Observatorio de Rayos Cósmicos de la Ciudad de México. La curva discontinua negra representa el promedio de los datos registrados, el área coloreada en amarillo representa la significación de los datos ( $\pm 3\sigma$ ). Cuando se registran variaciones que salen del área, es probable que éstas sean atribuidas a efectos de emisiones solares en el flujo de rayos cósmicos.

Del 13 al 19 de agosto de 2021, no se detectaron incrementos significativos ( $>3\sigma$ ) en las cuentas de rayos cósmicos.

## UNAM/LANCE/SCiESMEX

Dr. J. Américo González Esparza  
Dr. Pedro Corona Romero  
Dra. Maria Sergeeva  
Dr. Julio C. Mejía Ambriz  
Dr. Luis Xavier González Méndez  
Dr. José Juan González Avilés  
Ing. Ernesto Andrade Mascote  
M.C. Pablo Villanueva Hernández  
Ing. Adan Espinosa Jiménez  
Ing. Juan Luis Godoy Hernández  
Dr. Ernesto Aguilar-Rodríguez  
Dra. Verónica Ontiveros  
Dra. Tania Oyuki Chang Martínez  
M.C. Juan José D'Aquino  
Dr. Víctor José Gatica Acevedo

## UNAM ENES-Morelia

Dr. Mario Rodríguez Martínez  
Dr. Víctor De la Luz Rodríguez  
Lic. Shaden Saray Hernández Anaya  
M.C. Raúl Gutiérrez Zalapa  
Rafael Zavala Molina  
Vanessa Arriaga Contreras

## UNAM/PCT

Lic. Elizandro Huipe Domratheva  
M.C. Víctor Hugo Méndez Bedolla  
M.C. Elsa Sánchez García  
M. C. Carlos Arturo Pérez Alanís

## UANL/LANCE

Dr. Eduardo Pérez Tijerina  
Dr. Enrique Pérez León  
Dr. Carlos de Meneses Junior  
Dra. Esmeralda Romero Hernández

## UNAM/IGF/RAYOS CÓSMICOS

Dr. José Francisco Valdés  
Galicia  
Fis. Alejandro Hurtado Pizano  
Ing. Octavio Musalem Clemente

## SERVICIO MAGNÉTICO

M.C. Esteban Hernández  
Quintero  
Dr. Gerardo Cifuentes Nava  
Dra. Ana Caccavari Garza

**Elaboración:** José Juan González Avilés

**Revisión:** Ernesto Aguilar Rodríguez

Ing. Julio César Villagran Orihuela

Ing. Reynaldo Vite Sánchez

Miguel Daniel González Arias

Carlos Escamilla León

Jessica Juárez Velarde

Pablo Romero Minchaca

Eric Bañuelos Gordillo

Alfonso Iván Verduzco Torres

Katia Lisset Ibarra Sánchez

Ángel Alfonso Valdovinos Córdoba

Claudia Patricia López Martínez

## Agradecimientos

El Laboratorio Nacional de Clima Espacial (LANCE) es parcialmente financiado por: el programa Cátedras CONACYT Proyecto 1045 y el Fondo Sectorial AEM-CONACYT proyecto 2014-01-247722. Agradecemos al proyecto Conacyt – Repositorio Institucional de Clima Espacial 268273. Agradecemos al proyecto AEM-2018-01-A3-S-63804 del Fondo Sectorial CONACYT-AEM. Agradecemos a todos los responsables y colaboradores de instrumentos del LANCE y a las redes de estaciones GPS del Servicio Sismológico Nacional y TlalocNET por facilitar sus datos. Agradecemos a Gerardo Cifuentes, Esteban Hernández y Ana Caccavari por los datos del Observatorio Magnético de Teoloyucan. De igual forma, agradecemos los servicios de IGS (International GNSS Service) por permitirnos usar los datos IONEX disponibles en: <ftp://cddis.gsfc.nasa.gov/pub/gps/products/ionex>. Los valores de TEC fueron obtenidos a partir de observaciones de las redes GPS del Servicio Sismológico Nacional (SSN), SSN-TLALOCNet y TLALOCNet del Servicio de Geodesia Satelital (SGS). Agradecemos al personal del SSN y del SGS por el mantenimiento de estaciones, la adquisición de datos y el soporte de IT de estas redes. Las operaciones de la red TLALOCNet y SSN-TLALOCNet GPS han sido apoyadas por The National Science Foundation bajo el proyecto EAR-1338091 a UNAVCO Inc., los proyectos CONACyT 253760 y 256012 y los proyectos UNAM-PAPIIT IN109315-3 y IN104818-3 de E. Cabral-Cano y el proyecto UNAM-PAPIIT IN111509 de R. Pérez. De igual forma, agradecemos a los proyectos de infraestructura del CONACyT: 253691 y del PAPIIT-DGAPA: IA107116 para el fortalecimiento de equipos como la estación fija de GPS, que forman parte del LACIGE-UNAM, de la ENES unidad Morelia a cargo de M. Rodríguez-Martínez, El cálculo de TEC se realiza: 1) utilizando el software US-TEC que es un producto de operación del Space Weather Prediction Center (SWPC), desarrollado a través de una colaboración entre National Geodetic Survey, National Oceanic and Atmospheric Administration (NOAA) y el Cooperative Institute for Research in Environmental Sciences of the University of Boulder, Colorado, 2) con base en el software TayAbsTEC del Instituto de Física Solar-Terrestre, sección Siberiana de la Academia de Ciencias Rusa. Parte del procesamiento de datos se lleva a cabo dentro del centro de Supercómputo de Clima Espacial (CESCOM) del LANCE. Así mismo agradecemos al Space Weather Forecasting Center for Astrophysics & Space Research de la University of California in San Diego y al Korean Space Weather Center por los datos de pronóstico para los modelos WSA-ENLIL y los mapas tomográficos por IPS. Agradecemos a la red e-callisto por los datos proporcionados de espectros electromagnéticos dinámicos de la red internacional de registro de eventos de radio solares.